

УДК 536.425

ФИЗИЧЕСКАЯ ХИМИЯ

Л. Е. ШТЕРЕНБЕРГ, А. А. ЖУКОВ, В. К. ТОМАС, В. И. СЛЕСАРЕВ

МЕТАЛЛОГРАФИЧЕСКОЕ И РЕНТГЕНОГРАФИЧЕСКОЕ  
ИССЛЕДОВАНИЕ ВЫСОКОУГЛЕРОДИСТОЙ ЧАСТИ ДИАГРАММЫ  
СОСТОЯНИЯ СПЛАВОВ Fe —  $Fe_3C$ , СООТВЕТСТВУЮЩЕЙ  
ВЫСОКИМ ДАВЛЕНИЯМ

(Представлено академиком Л. Ф. Верещагиным 21 V 1969)

Исследование системы Fe — C при повышенных и высоких давлениях представляет значительный интерес, в частности, в связи со стабилизацией карбидной фазы — цементита<sup>(1, 2)</sup>, а также в свете работ В. К. Григоровича, позволяющих прогнозировать появление карбидов железа нефлентитного типа и алмаза<sup>(3, 4)</sup>. Ниже описаны исследования по синтезу цементита исходя из армко-железа и графита при давлениях 25 и 37 кбар. Армко-железо имело чистоту 99,9%. Спектрально чистый графит содержал примеси в количествах менее  $3 \cdot 10^{-3}\%$ . Давления 25,4 и 37 кбар фиксировали по точкам фазовых переходов в висмуте и таллии<sup>(5, 6)</sup>. Точность определения давления 25,4 кбар составляет  $\sim 2\%$ , а давления 37 кбар  $\sim 5\%$ . Температура измерялась хромель-алюмелевой термопарой, на термо-э. д. с. которой давление оказывает минимальное влияние<sup>(7)</sup> (верхний предел температур, измеряемых указанной термопарой, превышает 1250° С при упомянутых выше давлениях). Точность определения температур составляет  $\sim 2\%$ .

В качестве основного был принят метод контактного плавления, позволяющий получать жидкие прослойки между контактирующими твердыми телами (железом и графитом), вступающими в реакцию. Образование жидкости контролировалось по типу получаемых микроструктур. При проведении синтеза в течение 10 мин. при давлении 37 кбар и 1000° реакция идет в твердой фазе с образованием аустенита, претерпевающего мартенситное превращение при медленном охлаждении под давлением (рис. 1 а), а также местами и цементитной сетки. В поверхностном слое образуются компактные включения цементита в виде конгломерата сравнительно равногонных зерен, имеющих заметную огранку (рис. 1 б). Травление кипящим щелочным раствором никрата натрия подтвердило карбидную природу этих конгломератов.

Рентгенографический анализ показал, что в контактном слое образовались фазы: аустенит, мартенсит и цементит.

При проведении процесса при 25 кбар и 1250° морфология образующейся карбидной фазы коренным образом изменяется. Цементит выпадает в виде широких пластин, полностью идентичных пластинам первичного цементита в заэвтектических белых чугунах. В промежутках между пластинами образуется обычный ледебурит (рис. 2 а). Тонкие морфологические особенности полученных пластин цементита полностью совпадают с описанными Я. В. Гречным, Я. Н. Малиночкой, К. П. Буниным и Ю. Н. Тараном особенностями строения кристаллов первичного цементита заэвтектических чугунов (рис. 2 б). Все это служит неоспоримыми признаками наступления плавления системы в контактном слое (в отдельных опытах этот слой разрастался настолько, что охватывал практически весь объем образца).

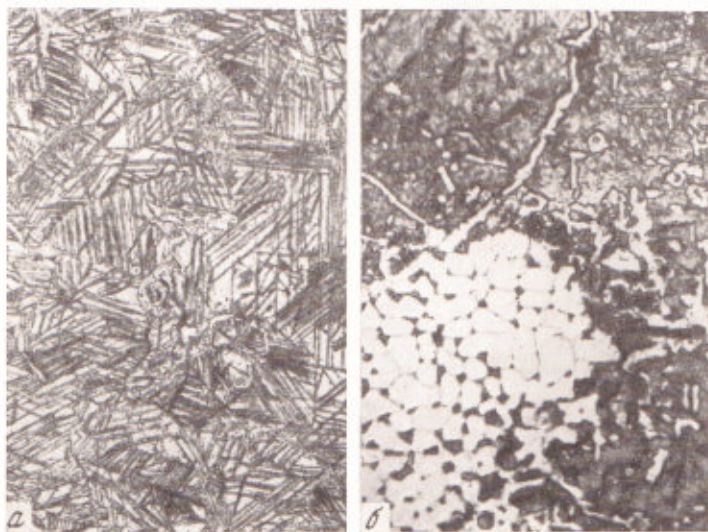


Рис. 1. Микроструктура диффузионного слоя, образовавшегося при 37 кбар и 1000° С без оплавления: а — зона с аустенито-мартенситной структурой (115×); б — компактные скопления зерен цементита; травление спиртовым раствором азотной кислоты (1000×)

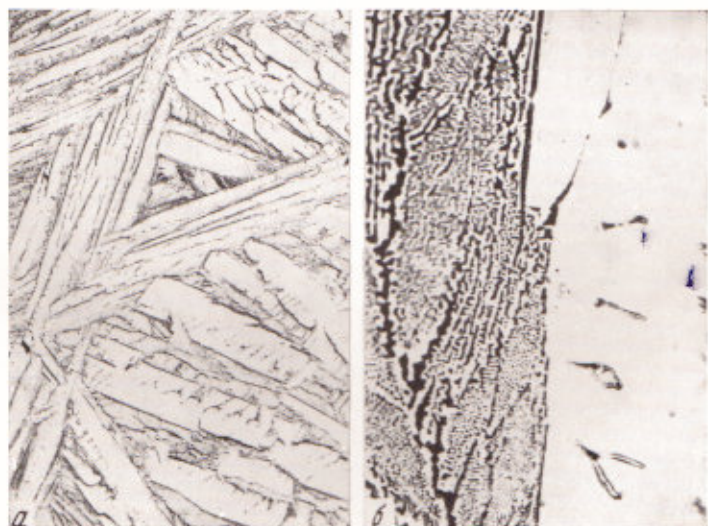


Рис. 2. Микроструктура оплавленных продуктов взаимодействия армко-железа и графита при 1250° С и 25 кбар. а — 115×, б — 1000×

Более того, высокое содержание углерода в этом слое, составляющее около 6% по данным планиметрии (в рамках аппроксимирования состава цементита как стехиометрического и с учетом сдвига эвтектической точки под влиянием давления), свидетельствует о том, что температура плавления цементита при 25 кбар лишь немногим превышает 1250°. Это свидетельствует о достоверности последних данных о температуре плавления цементита при атмосферном давлении — около 1200° по Хиллерту и еще более низкая цифра по Ханнеманну и Стронгу<sup>(8)</sup>.

С повышением давления до 37 кбар количество пластин первичного цементита в контактном слое значительно уменьшается в связи с повышением температуры плавления цементита и ледебурита. Это подтверждается также сравнением рентгенограмм\*. Так, на рентгенограмме контактного слоя, полученного при 25 кбар, наблюдаются одни только линии цементитной фазы (за исключением одной линии графита 002), интерференций  $\alpha$ - и  $\gamma$ -фаз нет. На рентгенограмме же контактного слоя, полученного при 37 кбар, кроме цементитных линий видны достаточно сильные линии  $\alpha$ -фазы.

Планиметрирование полученных микроснимков позволило приближенно (с точностью  $\sim 5\%$ ) определить содержание углерода в оплавленном контактном слое исследованных образцов и в первом приближении построить линии ликвидусов диаграммы Fe — Fe<sub>3</sub>C, соответствующие 25 и 37 кбар (рис. 3).

Описанная выше методика представляет интерес, так как она позволяет приближенно определять состав жидкой фазы, соответствующий пределу насыщения, казалось бы, в весьма неравновесных условиях контактного плавления. Это объясняется тем, что коэффициент диффузии углерода в расплаве значительно выше, чем в твердой фазе, что позволяет жидкости настичься углеродом, несмотря на постоянное оплавление в ней железа, науглероживание которого протекает значительно медленнее.

Авторы выражают благодарность В. А. Шалашову, под руководством которого было выполнено исследование.

Всесоюзный научно-исследовательский институт  
текстильного и легкого машиностроения  
Москва

Поступило  
15 V 1969

#### ЦИТИРОВАННАЯ ЛИТЕРАТУРА

- <sup>1</sup> Т. П. Ершова, Е. Г. Понятовский, ДАН, 151, № 6, 1364 (1963). <sup>2</sup> А. А. Жуков, А. П. Огарев, Физ.-хим. мех. матер., 2, № 3, 369 (1965). <sup>3</sup> В. К. Григорович, Изв. АН СССР, Металлы, № 1, 53 (1969). <sup>4</sup> В. К. Григорович, Литейное производство, № 1, 28 (1969). <sup>5</sup> G. C. Kennedy, R. N. La Mogi, Lake George Conf. Very High Pressure Research, 1960. <sup>6</sup> Л. Ф. Верещагин, Е. В. Зубова и др., ДАН, 169, № 1, 74 (1966). <sup>7</sup> R. E. Hammann, H. M. Strong, J. Appl. Phys., 37, № 2 (1966). <sup>8</sup> R. J. Brigham, G. R. Purdy, J. S. Kirkaldy, J. Phys. Chem. Solids, Suppl. 1, 161 (1967).

\* Рентгенографический анализ выполнен на FeK<sub>α+β</sub>-излучении по схеме на отражение. В связи с кристаллографической направленностью цементитных зерен в контактном слое необходимо было измельчить образцы и снимать рентгенограммы с врачающегося в собственной плоскости микролифта, изготовленного из конгломерата полученного порошка, скрепленного самотвердеющей бутакриловой смолой (не дающей ярко выраженных интерференций).

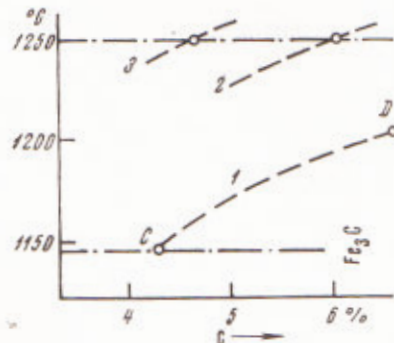


Рис. 3. Положение линии ликвидуса диаграммы Fe — Fe<sub>3</sub>C при атмосферном давлении (1), 25 кбар (2) и 37 кбар (3). Точки C, D — аустенито-цементитная эвтектика и точка плавления цементита соответственно